

Dernière mise à jour des informations: Mai 2024

Configuration du produit: MB76

MB76: Appareil encastrable circulaire - D=226 mm H=103 mm LEDneutral white - ballast électronique - optique éclairage général à luminance contrôlée UGR<19



Référence produit

MB76: Appareil encastrable circulaire - D=226 mm H=103 mm LEDneutral white - ballast électronique - optique éclairage général à luminance contrôlée UGR<19 **Attention ! Code abandonné**

Description technique

Appareil circulaire fixe encastrable, prévu pour l'utilisation de lampe LED. Version avec patte pour installation en saillie. Réflecteur métallisé par vapeurs d'aluminium sous vide avec couche de protection anti-rayures. Corps en aluminium moulé sous pression et système de dissipation passive. Produit fourni avec groupe LED 3000 lm en tonalité de couleur neutral white 4000K et driver électronique séparé de l'appareil. Distribution lumineuse UGR<19 à luminance contrôlée.

Installation

Encastrement à l'aide de ressorts de torsion permettant une installation facile sur faux-plafonds d'une épaisseur de 1 à 25 mm.

Coloris

Blanc/Aluminium (39)

Poids (Kg)

1.88

Montage

encastré au plafond

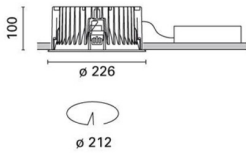
Câblage

Produit fourni avec les composants électroniques

Conforme à la norme EN60598-1 et à la réglementation en vigueur (o 'à la réglementation relative')



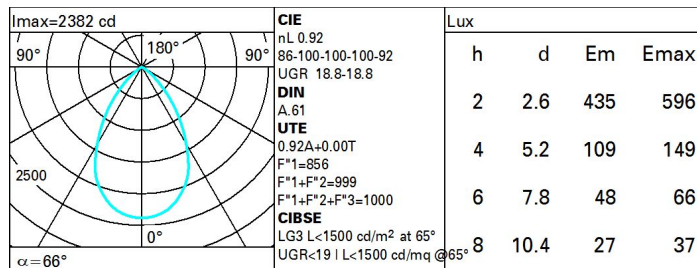
Sur la partie visible du produit une fois installé



Données techniques

| | | | |
|--------------------------------------------------|-------|--------------------------------------|-------------------------------|
| lm du système: | 2759 | IRC: | 80 |
| W du système: | 26.5 | Température de couleur [K]: | 4000 |
| lm source: | 3000 | MacAdam Step: | 3 |
| W source: | 23 | Durée de vie LED 1: | 50,000h - L80 - B10 (Ta 25°C) |
| Efficacité lumineuse (lm/W, valeurs du système): | 104.1 | Code Lampe: | LED |
| lm en mode secours: | - | Nombre de lampes par groupe optique: | 1 |
| Flux total émis à un angle de 90° ou plus [Lm]: | 0 | Code ZVEI: | LED |
| Light Output Ratio (L.O.R.) [%]: | 92 | Nombre de groupes optiques: | 1 |

Polaire



Coefficients d'utilisation

| R | 77 | 75 | 73 | 71 | 55 | 53 | 33 | 00 | DRR |
|------|----|----|----|----|----|----|----|----|-----|
| K0.8 | 77 | 71 | 67 | 64 | 70 | 67 | 66 | 62 | 68 |
| 1.0 | 82 | 77 | 73 | 70 | 75 | 72 | 72 | 68 | 74 |
| 1.5 | 88 | 84 | 81 | 78 | 83 | 80 | 79 | 76 | 82 |
| 2.0 | 91 | 89 | 86 | 84 | 87 | 85 | 84 | 81 | 88 |
| 2.5 | 93 | 91 | 89 | 88 | 90 | 88 | 87 | 84 | 91 |
| 3.0 | 95 | 93 | 92 | 90 | 91 | 90 | 89 | 86 | 94 |
| 4.0 | 96 | 95 | 94 | 93 | 93 | 92 | 91 | 88 | 96 |
| 5.0 | 97 | 96 | 95 | 94 | 94 | 93 | 92 | 89 | 97 |

Courbe limite de luminance

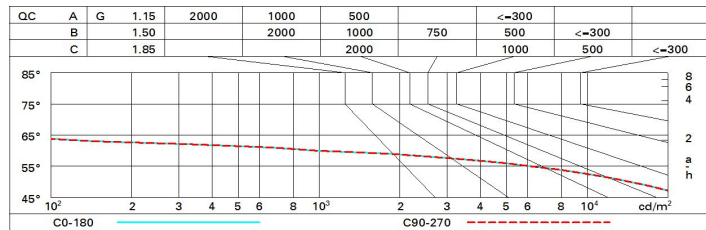


Diagramme UGR

| Corrected UGR values (at 3000 lm bare lamp luminous flux) | | | | | | | | | | | |
|-----------------------------------------------------------|------|------------------|------|------|------|------|----------------|------|------|------|------|
| Reflect.: | | viewed crosswise | | | | | viewed endwise | | | | |
| ceil/cav | | 0.70 | 0.70 | 0.50 | 0.50 | 0.30 | 0.70 | 0.70 | 0.50 | 0.50 | 0.30 |
| walls | | 0.50 | 0.30 | 0.50 | 0.30 | 0.30 | 0.50 | 0.30 | 0.50 | 0.30 | 0.30 |
| work pl. | | 0.20 | 0.20 | 0.20 | 0.20 | 0.20 | 0.20 | 0.20 | 0.20 | 0.20 | 0.20 |
| Room dim | | | | | | | | | | | |
| x | y | | | | | | | | | | |
| 2H | 2H | 19.3 | 20.0 | 19.6 | 20.3 | 20.5 | 19.3 | 20.0 | 19.6 | 20.3 | 20.5 |
| | 3H | 19.2 | 19.8 | 19.5 | 20.1 | 20.4 | 19.2 | 19.9 | 19.5 | 20.1 | 20.4 |
| | 4H | 19.1 | 19.7 | 19.4 | 20.0 | 20.3 | 19.1 | 19.7 | 19.5 | 20.0 | 20.3 |
| | 6H | 19.0 | 19.6 | 19.4 | 19.9 | 20.2 | 19.1 | 19.6 | 19.4 | 19.9 | 20.3 |
| | 8H | 19.0 | 19.5 | 19.4 | 19.9 | 20.2 | 19.0 | 19.5 | 19.4 | 19.9 | 20.2 |
| | 12H | 19.0 | 19.5 | 19.3 | 19.8 | 20.2 | 19.0 | 19.5 | 19.4 | 19.8 | 20.2 |
| 4H | 2H | 19.1 | 19.7 | 19.5 | 20.0 | 20.3 | 19.1 | 19.7 | 19.4 | 20.0 | 20.3 |
| | 3H | 19.0 | 19.5 | 19.4 | 19.8 | 20.2 | 19.0 | 19.5 | 19.4 | 19.8 | 20.2 |
| | 4H | 18.9 | 19.3 | 19.3 | 19.7 | 20.1 | 18.9 | 19.3 | 19.3 | 19.7 | 20.1 |
| | 6H | 18.8 | 19.2 | 19.2 | 19.6 | 20.0 | 18.8 | 19.2 | 19.2 | 19.6 | 20.0 |
| | 8H | 18.8 | 19.1 | 19.2 | 19.5 | 20.0 | 18.8 | 19.1 | 19.2 | 19.5 | 20.0 |
| | 12H | 18.7 | 19.0 | 19.2 | 19.5 | 19.9 | 18.7 | 19.0 | 19.2 | 19.5 | 19.9 |
| 8H | 4H | 18.8 | 19.1 | 19.2 | 19.5 | 20.0 | 18.8 | 19.1 | 19.2 | 19.5 | 20.0 |
| | 6H | 18.7 | 19.0 | 19.1 | 19.4 | 19.9 | 18.7 | 19.0 | 19.1 | 19.4 | 19.9 |
| | 8H | 18.6 | 18.9 | 19.1 | 19.3 | 19.8 | 18.6 | 18.9 | 19.1 | 19.3 | 19.8 |
| | 12H | 18.6 | 18.8 | 19.1 | 19.3 | 19.8 | 18.6 | 18.8 | 19.1 | 19.3 | 19.8 |
| 12H | 4H | 18.7 | 19.0 | 19.2 | 19.5 | 19.9 | 18.7 | 19.0 | 19.2 | 19.5 | 19.9 |
| | 6H | 18.6 | 18.9 | 19.1 | 19.3 | 19.8 | 18.6 | 18.9 | 19.1 | 19.3 | 19.8 |
| | 8H | 18.6 | 18.8 | 19.1 | 19.3 | 19.8 | 18.6 | 18.8 | 19.1 | 19.3 | 19.8 |
| Variations with the observer position at spacing: | | | | | | | | | | | |
| S = | 1.0H | 2.2 / -7.0 | | | | | 2.2 / -7.0 | | | | |
| | 1.5H | 4.6 / -30.0 | | | | | 4.6 / -30.0 | | | | |
| | 2.0H | 6.6 / -35.0 | | | | | 6.6 / -35.0 | | | | |